

# STUDIUM PRŮBĚHU KOROZNÍCH REAKCÍ PĚNOBETONU S $\text{SO}_2$ A $\text{CO}_2$

ROSTISLAV DROCHYTKA

Katedra technologie výroby stavebních hmot fakulty stavební VUT Brno,  
662 38 Brno, Gorkého 7

Došlo 24. 4. 1987

Ke studiu koroze oxidem siřičitým a uhličitým byly použity vzorky pěnobetonu. Vzorky byly podrobeny korozi v atmosféře  $\text{SO}_2$  samostatně nebo ve směsi  $\text{SO}_2$  a  $\text{CO}_2$  při různé vlhkosti prostředí. Plynné exhaláty negativně ovlivnily jak fyzikálně mechanické, tak i fyzikálně chemické vlastnosti pěnobetonu. Vliv koncentrace oxidu siřičitého je zřetelný zejména na poklesu hodnot  $p\text{H}$ , výrazněji potom ve směsi  $\text{CO}_2$  a  $\text{SO}_2$ . Konečným produktem sulfatace betonu jen za přístupu vodní páry byl sádrovec, kdežto při opakovém působení kapalné vlhkosti monosulfát ( $\text{C}_3\text{A} \cdot \text{C}\bar{\text{S}} \cdot \text{H}_{12}$ ), resp. ettringit ( $\text{C}_3\text{A} \cdot 3\text{C}\bar{\text{S}} \cdot \text{H}_{32}$ ).

## ÚVOD

Některé průmyslové lokality jsou postiženy spadem chemických plynných exhalací natolik, že působí škodlivě jak na živou přírodu, tak i na stavební konstrukce. Současný výzkum z oblasti pěrobetonu [1—4] prokázal negativní účinky  $\text{SO}_2$  a  $\text{CO}_2$  na stavební materiály po delší době působení. U obyčejných betonů se škodlivé účinky projevují zvláště tehdy, jestliže byl beton při přípravě málo zhutněn. Takový beton má zvýšenou půrovitost, vyšší propustnost vody, vodní páry, vzduchu a také škodlivých plynů.

Vzhledem k tomu, že při vysoké hutnosti betonu probíhají korozní pochody poměrně pomalu [5 až 8], byly navrženy pro krátkodobé sledování koroze betonu a pro vyšetřování průběhu sulfatace a karbonatace zkušební vzorky ve formě laboratorně připraveného pěnobetonu. Koroze probíhala v několika modelových prostředích, kde se měnila relativní vlhkost prostředí i koncentrace  $\text{SO}_2$ . Po vyšetření průběhu individuální sulfatace betonů byl zjišťován i chemismus synergické koroze při současném působení směsi plynů  $\text{SO}_2 + \text{CO}_2$  v rozdílných vzájemných poměrech a různých relativních vlhkostech prostředí.

## EXPERIMENTÁLNÍ POSTUP A VÝSLEDKY MĚŘENÍ

K přípravě zkušebních vzorků byly použity suroviny: PC 400 Maloměřice, normový jemnozrnný písek, klihopryskařičné pěnidlo s vodním poločasem 10 minut a číslem napětí 1800 ml a 5% chlorid vápenatý (2% z hmotnosti cementu) jako urychlovač tuhnutí. Vodní součinitel byl roven 0,47. Zkoušky byly prováděny se vzorky o rozměrech  $20 \times 20 \times 20$  mm, a to až po 28denním vodním uložení. Výchozí pěnobeton byl podroben studiu mikrostruktury, včetně termickým, rentgenografickým a chemickým rozborům.

Podle chemického složení základní pěnobeton obsahoval 33 %  $\text{CaO}$ , 3 %  $\text{Al}_2\text{O}_3$ , 2 %  $\text{Fe}_2\text{O}_3$  a 1,25 %  $\text{SO}_3$ . Fázové složení nekorodovaného pěnobetonu sestávalo z minerálů křemene, portlanditu  $\text{Ca}(\text{OH})_2$ , ettringitu, kalcitu,  $\text{C}_4\text{AH}_{13}$  a dosud nezreagovaného  $\beta\text{-C}_2\text{S}$  a  $\text{C}_3\text{S}$ . Z termických analýz byl určen obsah jednotlivých minerálů, a to 1,28 %  $\text{Ca}(\text{OH})_2$ , 3,90 % jemnozrnného  $\text{CaCO}_3$  a 7,45 % hrubozrnného  $\text{CaCO}_3$ .

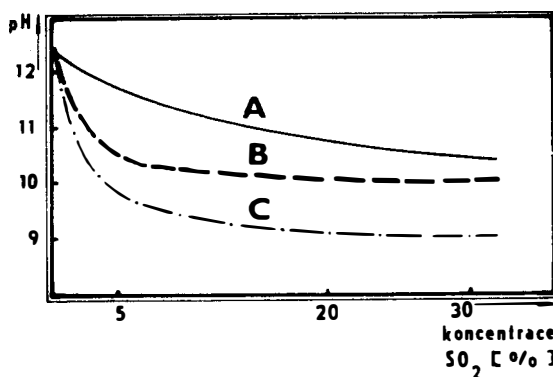
Vypočtené výchozí stupně karbonatace 20 % a modifikačních přeměn 1,90 svědčí již o částečné karbonataci původního materiálu.

Při studiu mikrostruktury (obr. 3) bylo zjištěno, že základní složka je vytvořena z velké části pouze gelovitou formou vápenatých hydrosilikátů, mezi kterou jsou vyvinuty krystalky ettringitu ve tvaru jemných jehliček. Hodnota pH vodního výluku výchozího vzorku odpovídala 12,3, což bylo dáno vysokým obsahem  $\text{Ca}(\text{OH})_2$ .

### A. Koroze oxidem siřičitým

Vzorky byly vystaveny plynné atmosféře, obsahující 5, 20 a 30 %  $\text{SO}_2$  při relativní vlhkosti vzduchu 45, 75 a 95 % po dobu 180 dnů. Nižší koncentrace  $\text{SO}_2$  nebyla použita, protože by byl stupeň (rozsah) přeměny v daném časovém intervalu příliš nízký. V průběhu koroze byly na vzorcích prováděny fyzikálně mechanické zkoušky (objemová hmotnost a pevnost v tlaku), ale i stanovení fyzikálně chemická (RTG, DTA, TG, REM apod.).

Rentgenovým rozborom vzorků betonů, uložených v prostředí s nejmenší relativní vlhkostí vzduchu 45 % a koncentracemi 5, 20 i 30 %  $\text{SO}_2$ , jsou zaznamenány linie portlanditu. Ve srovnání s původním pěnobetonem je však jejich intenzita podstatně nižší. Postupně při zvyšující vlhkosti, koncentraci  $\text{SO}_2$  a rostoucí době koroze se intenzita linií  $\text{Ca}(\text{OH})_2$  značně snižuje, až při relativní vlhkosti 95 % po 60 dnech koroze bylo zjištěno jejich úplné vymizení. Zde se objevuje nová fáze  $\text{CaSO}_3 \cdot 1/2 \text{H}_2\text{O}$ , která postupně přechází na sádrovec, a to zejména u vzorků uložených v prostředí s relativní vlhkostí 95 %. Druhý meziprodukt koroze —  $\text{CaSO}_4 \cdot 1/2 \text{H}_2\text{O}$  — byl identifikován u vzorků pěnobetonů uložených rovněž v prostředí s relativní vlhkostí 95 % po 60 dnech působení  $\text{SO}_2$ , ale při koncentraci 20 %  $\text{SO}_2$ . U všech studovaných vzorků zůstává křemen v nezměněné formě.

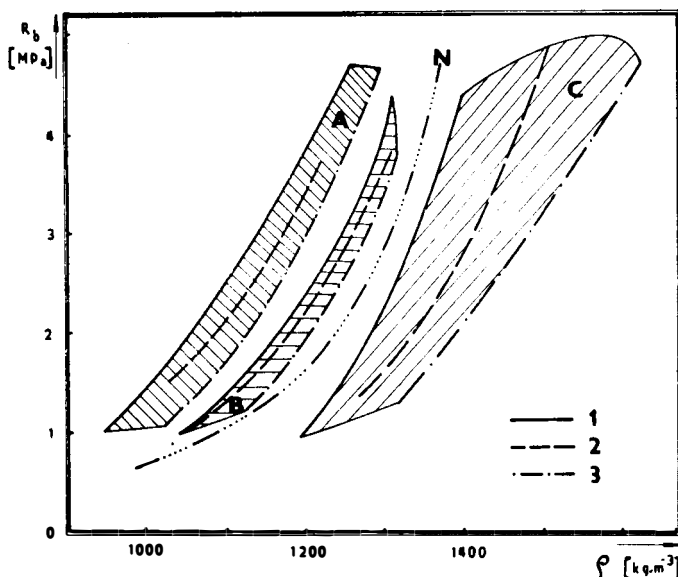


Obr. 1. Závislost hodnoty pH pěnobetonových vzorků na koncentraci  $\text{SO}_2$  a relativní vlhkost prostředí po 90 dnech koroze.

Diferenční termická analýza potvrdila výsledky rentgenového rozboru, zejména přítomnost  $\text{Ca}(\text{OH})_2$  i po 90 dnech koroze v nejméně vlhkém prostředí 45 %.  $\text{CaCO}_3$  ve formě kalcitu, resp. vateritu či aragonitu se vlivem relativní vlhkosti rozkládá rychleji, než při vznášející koncentraci  $\text{SO}_2$ . Naopak obsah reakčních produktů, a to jak  $\text{CaSO}_3 \cdot 1/2 \text{H}_2\text{O}$  nebo  $\text{CaSO}_4 \cdot 1/2 \text{H}_2\text{O}$ , tak i  $\text{CaSO}_4 \cdot 2 \text{H}_2\text{O}$  se vlivem postupující

koroze zvyšuje. Při vyšší vlhkosti převládá sádrovec a při nižší hemihydrát sířičitanu vápenatého. Vyšší koncentrace  $SO_2$  naopak podmiňuje vznik sulfátů vápenatých, kde hodnota vlhkosti prostředí je rozhodující pro tvorbu dihydrátu či hemihydrátu.

Zajímavé jsou potom poklesy hodnot pH vodního výluku zkorodovaného pěnobetonu, které vyjádřené v závislosti na koncentraci  $SO_2$  a relativní vlhkosti po 90 dnech koroze jsou zobrazeny na obr. 1. Po celkovém korozním působení 180 dnů jsou poklesy pH ještě výraznější. Pevnost v tlaku v závislosti na objemové hmotnosti (obr. 2) po 90 dnech koroze ukazuje mírné zvýšení pevností vzorků uložených v nízkých relativních vlhkostech prostředí 45 a 75 %. Jak je dále patrné z obr. 2, kde vzorky uložené vždy ve stejné relativní vlhkosti prostředí charakterizuje určitá oblast, jsou mechanické vlastnosti ovlivněny zejména relativní vlhkostí daného prostředí. Vzorky z relativní vlhkosti 95 % jsou potom celou svojí oblastí hluboce pod stavem nekorodovaného materiálu. Koncentrace  $SO_2$  zde představuje pouze vliv sekundární a určuje rozsah dané vlhkostní oblasti.



Obr. 2. Pevnosti v tlaku pěnobetonových vzorků v závislosti na objemové hmotnosti po 90 dnech při různém uložení:

oblast	křivka
A ... rel. vlhkost 45 %	1 ... koncentrace 5 % $SO_2$
B ... rel. vlhkost 75 %	2 ... koncentrace 20 % $SO_2$
C ... rel. vlhkost 95 %	3 ... koncentrace 30 % $SO_2$
N ... reprezentativní křivka nekorodovaného pěnobetonu	

Výraznější poklesy pevností v tlaku nastávají po delším působení (180 dnů), a to u všech vzorků z relativních vlhkostí prostředí 75 a 95 %. Zde již však hodnota koncentrace oxidu sířičitého více určuje míru snížení pevností. Souhrnně lze tedy konstatovat, že při nižší koncentraci  $SO_2$  je vliv relativní vlhkosti prostředí dominantní, kdežto při vyšší koncentraci oxidu sířičitého není hodnota relativní vlhkosti již tolik rozhodující.

Mikrostruktura korodovaného vzorku (obr. 4) znázorňuje mírně degradovaný pěnobeton, resp. (obr. 5) vznik korozních novotvarů, a to převážně  $\text{CaSO}_3 \cdot 1/2 \text{H}_2\text{O}$  ve formě shluků jemnozrnných krystalů. Po ukončení koroze, kdy byl identifikován produkt sádrovec, jevíla mikrostruktura podobný charakter jako je na obr. 6 a 7.

### B. Synergická koroze oxidem siřičitým a uhličitým

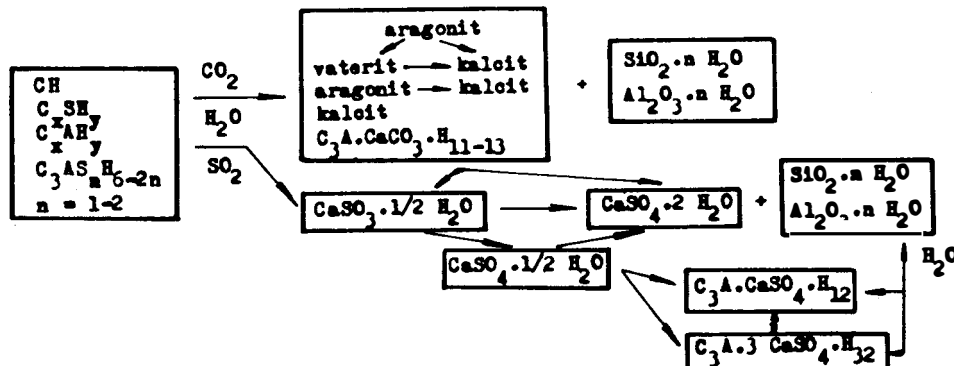
Při stanovení vlivu synergické koroze betonu byly aplikovány dva postupy; jednak byl nejprve pěnobeton karbonatován oxidem uhličitým a následně degradován oxidem siřičitým stejným způsobem dříve popsaným a, jednak byl pěnobeton korodován směsí nejvíce v ovzduší zastoupených plynů —  $\text{CO}_2$  a  $\text{SO}_2$  v různém poměru koncentrací a při rozdílné relativní vlhkosti prostředí 75 a 95 %.

Synergické působení směsi plynů mělo za následek úplné rozložení portlanditu za poměrně krátkou dobu 30 dnů. Je zajímavé, že u vzorků sulfatovaných po předcházející karbonataci, kterou se mimo jiné zvýšil obsah  $\text{CaCO}_3$  z 11 % na 37 %, dochází následující sulfataci k rychlejšímu rozložení celkového  $\text{CaCO}_3$ . Zde je rovněž zřejmý rozhodující vliv vyšší relativní vlhkosti prostředí.

Z obsahu korozních novotvarů ( $\text{CaSO}_3 \cdot 1/2 \text{H}_2\text{O}$  či sádrovce) vyplývá skutečnost, že při synergické korozi, resp. při postupné sulfataci již zkarbonatovaného betonu oxid siřičitý nejsnáze reaguje s primárními jemnozrnnými produkty karbonatace za vzniku maximálního obsahu novotvarů — sulfátů vápenatých, přičemž rychlosť reakcí je podmíněna vlhkostí prostředí.

U několika málo vzorků, obsahujících jako korozní produkt sádrovec, byl při střídavém působení kapalné vody v prostředí s vyšší koncentrací  $\text{SO}_2$  identifikován trisulfát vápenatý — ettringit. Tvorba uvedených novotvarů byla ovlivněna hodnotou pH. A právě u hodnoty pH mezirnečného roztoku betonu se projevuje při vzájemném působení obou plynů vlivem agresivního  $\text{SO}_2$  výrazný pokles (cca na 7,00), se všemi negativními důsledky pro praxi. Fyzikálně mechanické vlastnosti mají obdobný charakter jako při individuální sulfataci. Na snímcích REM (obr. 6 a 7) jsou znázorněny novotvary sulfatace, tzn. převládající dobře vyvinuté krystaly sádrovce. Ty vznikly při korozi hydratačních produktů postupným nárůstem a zcela rozrušily původní gelovitou hmotu. Zbytky primárních hydratačních, resp. karbonatačních produktů jsou viditelné na povrchu všech krystalů.

V souladu s uvedenými novými poznatkami o atmosférické korozi na pěnobetono-vých vzorech a v návaznosti na již publikované výsledky z oblasti pórobetonu je možno průběh koroze pro betony a malty na bázi cementu charakterizovat následujícím schématem:



## ZÁVĚR

Ve smyslu čtyř etap karbonatace je možno formulovat z uvedených poznatků rovněž čtyři, resp. pět etap, charakterizujících sulfataci betonu. V prvém období se přeměňuje hydroxid vápenatý, resp. jeho roztok v mezirnečném prostoru na hemihydrtáti siřičitanu vápenatého, který přitom částečně zaplňuje póry. Hlavní vlastnosti betonu, tedy pevnosti, se stávají výhodnějšími, ale velice se snižuje hodnota pH.

Ve druhé etapě probíhají přeměny ostatních hydratačních produktů cementu společně s primárně vzniklými novotvary karbonatačními, dle schématu v předcházejícím textu. Produkty sulfatace zůstávají převážně v pseudomorfózách ve tvarech po hydratačních a karbonatačních produktech, ale částečně i nadále zaplňují póry betonu. Mechanické vlastnosti betonu vykazují mírné zvýšení svých hodnot. Zde je možno částečně počítat i s vlivem pokračující hydratace C<sub>3</sub>S apod.

Třetí etapa se vyznačuje překrystalováním primárně vzniklého hemihydruatu siřičitanu, resp. síranu vápenatého na velice objemově rozměrné krystaly sádrovce, který potom zcela zaplňuje póry. Zpočátku této etapy pevnosti vykazují maxima svých hodnot, ale v průběhu třetího stadia a při přechodu do čtvrtého tyto prude klesají. Čtvrtá etapa se potom vyznačuje naprostou ztrátou pevností a soudržností betonu, jeho postupným trhlinkovatěním. Hrubé krystaly sádrovce prostupují celou strukturou cementového tmelu.

Při střídavém provlhčování je možno potom zaznamenat někdy ještě stadium páté, které je charakteristické zřetelnějším rozpadem betonu v důsledku vzniku trisulfátu resp. monosulfátu vápenatého, což je ovlivněno hodnotou pH. Při hodnotách pH nižších jak 6,5 již uvedené sloučeniny nalezeny nebyly. Výskyt této etapy můžeme pozorovat i přímo z přechodu třetího stadia. Graficky je možno sledovat průběh koroze sulfatace na přiložených snímcích REM (obr. 3 až 7) v daném pořadí obrázků. Z předložených poznatků z oblasti koroze betonu vyplynul jednoznačný závěr, že i když koroze plyným oxidem siřičitým samostatně či ve spolupůsobení s ostatními plyny probíhá poměrně delší časové údobí, je nutno tomuto předcházet již při návrhu ochrany před uvedenou korozí nebo přísným dodržováním technologické kázně ve výrobně i na stavbě.

### Literatura

- [1] Matoušek M., Drochytka R.: Stavební výzkum 28, [2] 1 (1986).
- [2] Drochytka R.: Koroze betonu a pórabetonu kyselými atmosférickými plyny z ovzduší a ochrana proti ní. Kandid. disert. práce, Brno (1986).
- [3] Šauman Z.: Cement and concrete research 2, 541 (1972).
- [4] Matoušek M.: Doktorská disertační práce, Brno (1977).
- [5] Knöfel D., Böttger K. G.: Bautenschutz + Betonsanierung 8, [1] (1985).
- [6] Knöfel D., Böttger K. G.: Betonwerk + Fertigteil—Technik 51, 107 (1985).
- [7] Hoffman D., Ross H.: Materialprüfung 19, 300 (1977).
- [8] Engelfried R., Tölle D.: Betonwerk + Fertigteil—Technik 51, [11] (1985).

### ИССЛЕДОВАНИЕ ХОДА КОРРОЗИОННЫХ РЕАКЦИЙ ПЕНОБЕТОНА С SO<sub>2</sub> И CO<sub>2</sub>

Ростислав Дрохитка

кафедра технологии производства строительных материалов  
строительный факультет Политехнического института Брно  
662 38 Брно

Испытательные бетонные образцы подвергали прямой коррозии оксидom четырехвалентной серы и смесью CO<sub>2</sub> и SO<sub>2</sub> при разной относительной влажности среды. На основании физико-химических и физико-механических испытаний было установлено

но, что при отдельной коррозии пенобетона оксидом четырехвалентной серы происходит образование кристаллов новообразований,  $\text{CaSO}_3 \cdot 1/2 \text{H}_2\text{O}$ ,  $\text{CaSO}_4 \cdot 1/2 \text{H}_2\text{O}$  и  $\text{CaSO}_4 \cdot 2 \text{H}_2\text{O}$  (рис. 3—7) и далее также деградация исходного материала, в результате чего понижается прочность образцов (рис. 2).

При более низкой концентрации  $\text{SO}_2$  является влияние относительной влажности среды доминирующей, в то время как при более высокой концентрации сернистого газа величина относительной влажности уже нерешительна. Влияние действия  $\text{SO}_2$  весьма принципиально и связано с понижением величин pH (рис. 1). Более резкое понижение величин pH установили в случае синергической коррозии смесей газов  $\text{SO}_2$  и  $\text{CO}_2$ . При данном типе коррозии образуются под влиянием более высокой коррозии  $\text{CO}_2$  прежде всего тонковернистые карбонатные новообразования — ватерит, кальцит, или арагонит, которые далее взаимодействуют с  $\text{SO}_2$ , причем скорость реакции обусловливается влажностью.

При переменном действии жидкой воды в присутствии гипса идентифицировали моносульфат, или в среде с более высокой концентрацией  $\text{SO}_2$  трисульфат кальция. Образование приводимых новообразований обусловлено прежде всего величиной pH.

Рис. 1. Зависимость величины pH пенобетонных образцов от концентрации  $\text{SO}_2$  и относительной влажности среды после 90 суток коррозии.

Рис. 2. Прочности при сжатии пенобетонных образцов в зависимости от объемного веса после 90 суток при разном составе:

область	кривая
A — отн. влажность 45 %	1 — концентрация 5 % $\text{SO}_2$
B — отн. влажность 75 %	2 — концентрация 20 % $\text{SO}_2$
C — отн. влажность 95 %	3 — концентрация 30 % $\text{SO}_2$
N — нехарактерная кривая некорродируемого пенобетона.	

Рис. 3. Основной некорродируемый образец пенобетона. SEM.

Рис. 4. Умеренно корродируемый образец пенобетона после 30 суток действия среды с 20 %  $\text{SO}_2$  и относительной влажности 75 %. SEM.

Рис. 5. Корродируемый образец пенобетона после 60 суток действия концентрации 20 %  $\text{SO}_2$  и 75 % относительной влажности; дифрактографически идентифицированы прежде всего гемицеллурат сульфита кальция. SEM.

Рис. 6. Кристаллы гипса в корродируемом пенобетоне, помещенном в смеси газов  $\text{CO}_2$  и  $\text{SO}_2$  (10 : 1) и относительной влажности 95 % после 60 суток действия. SEM.

Рис. 7. Новообразования сульфатации — гипса — в пенобетоне после 90 суток коррозии в смеси  $\text{CO}_2$  и  $\text{SO}_2$  (10 : 1) при относительной влажности среды 95 %. SEM.

## A STUDY OF THE COURSE OF REACTIONS BETWEEN CELLULAR CONCRETE AND $\text{SO}_2$ AND $\text{CO}_2$

Rostislav Drochytka

Department of the Technology of Building Materials Production  
Faculty of Building Construction, Technical University Brno, 662 38 Brno

Cellular concrete specimens were subjected to direct effects of sulphur dioxide and  $\text{SO}_2 + \text{CO}_2$  mixtures at various relative humidities. Physico-chemical and physico-mechanical test showed that corrosion of cellular concrete by sulphur dioxide alone produces crystalline new formations, namely  $\text{CaSO}_3 \cdot 1/2 \text{H}_2\text{O}$ ,  $\text{CaSO}_4 \cdot 1/2 \text{H}_2\text{O}$  as well as  $\text{CaSO}_4 \cdot 2 \text{H}_2\text{O}$  (Figs. 3 through 7) and brings about degradation of the original material which is responsible for decreasing strength (Fig. 2).

The effect of relative humidity is decisive at lower  $\text{SO}_2$  concentrations, this being not the case at higher concentrations. The influence of  $\text{SO}_2$  is essential, being associated with the decrease of pH values (Fig. 1). A more pronounced decrease of pH values resulted from synergic corrosion caused by mixtures of  $\text{SO}_2$  and  $\text{CO}_2$ . During this type of chemical attack, the elevated concentration of  $\text{CO}_2$  brings about creation of fine-grained carbonate new formations — vaterite, calcite and possibly aragonite, which further react with  $\text{SO}_2$ , the reaction rate being dependent on humidity.

Alternate exposure to liquid water, in the presence of gypsum, was shown to produce calcium monosulphate while trisulphate was formed in media with higher  $\text{SO}_2$  concentration. Creation of these new formations depends above all on the pH value.

*Fig. 1. pH of the cellular concrete specimens vs.  $SO_2$  concentration and relative humidity after 90 days of exposure*

*Fig. 2. Compressive strength of cellular concrete specimens in terms of apparent density after 90 days of exposure under various conditions:*

Area	Curve
A ... relative humidity 45 %	1 ... 5 % $SO_2$
B ... relative humidity 75 %	2 ... 20 % $SO_2$
C ... relative humidity 95 %	3 ... 30 % $SO_2$
N ... representative curve of non-exposed cellular concrete	

*Fig. 3. Scanning electron micrograph of non-exposed cellular concrete.*

*Fig. 4. Mildly corroded specimen of cellular concrete after 30 days of exposure to atmosphere with 20 %  $SO_2$  and relative humidity of 75 %. SEM.*

*Fig. 5. Corroded cellular concrete specimen after 60 days of exposure to an atmosphere with 20 %  $SO_2$  and 75 % relative humidity; the main component identified by diffractography was calcium sulphite hemihydrate. SEM.*

*Fig. 6. Gypsum crystals in corroded cellular concrete exposed for 60 days to a  $CO_2 + SO_2$  mixture (10 : 1) at 95 % relative humidity. SEM.*

*Fig. 7. Sulphation products, gypsum, in cellular concrete after 90 days of exposure to a  $CO_2 + SO_2$  mixture (10 : 1) at 95 % relative humidity. SEM.*

CEMENTS RESEARCH PROGRESS 1985 (Pokrok ve výzkumu pojiv 1985), Editor P. W. Brown. Cements Division. American Ceramic Society. 65 Ceramic Drive, Columbus, Ohio, USA. 1986. 361 pp.

Pod uvedeným názvem vyšla v roce 1986 v pořadí už dvanáctá publikace obsahující přehled celosvětové literatury z oblasti pojiv. Zatím co v předcházejících 11 letech byl zpracováván významnými odborníky za redakce prof. J. F. Younga z University of Illinois, USA, dvanáctý byl sestaven pod vedením Dr. P. W. Browna z National Bureau of Standards, USA.

Vydání jednotlivých ročníků jsou věnována historickým objevům nebo osobnostem. Poslední vydání je věnované Johnovi Smeatonovi (1724—1792), konstruktérovi Edystonského majáku, a jak se sám nazval, prvnímu stavebnímu inženýrovi.

Cements Research Progress 1985 má 12 kapitol:

První kapitola o výrobě cementu (surovinách, jejich dávkování, palivech, výrobních technologiích, pecích, mlýnech a ochraně životního prostředí) zpracovali na základě 105 literárních odkazů a 12 patentů K. Theisen, A. Eriksson a V. Johansen z Dánska.

Druhá kapitola obsahuje přehled o výzkumu složení surovin, slínku a cementu při použití nejmodernější přístrojové techniky. P. Hawkins a S. M. DeHayes z USA v této kapitole citují práce 111 autorů.

Třetí kapitola o hydrataci slínkových minerálů a cementu zpracoval na základě 155 literárních odkazů I. Jawed z USA.

Čtvrtá kapitola pojednává o problematice ošetřování pojiv a lehkých betonů při hydrotermálních podmínkách. M. W. Grutzek z USA v ní cituje práce různých autorů a 41 patentů.

Pátá kapitola obsahuje přehled o výzkumu vlastností a struktury hydratačních produktů cementu a produktů vznikajících na rozhraní cementové pasty a plniva (kameniva, vláken). Tuto kapitolu zpracoval H. F. Taylor z Velké Británie na základě 92 literárních odkazů.

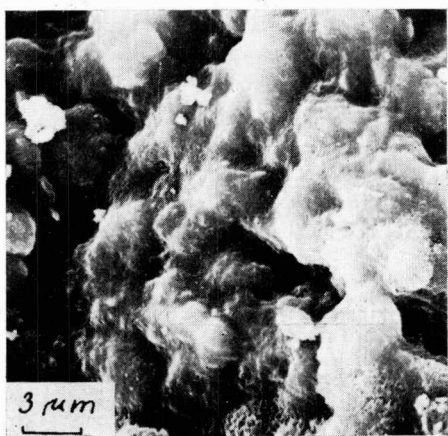
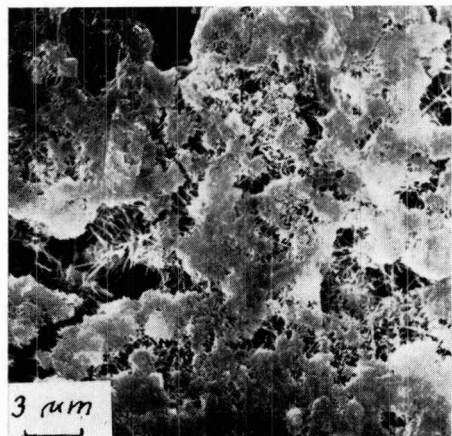
V šesté kapitole D. F. Factor, F. Kinney, D. A. Luptyan a M. A. McFarland z USA shrnuli poznatky o superplastifikátorech, ztekuvacích, provzdušňovacích, urychlovacích a zpomalovacích přísladkách a plastobetonech. Citují práce 28 autorů a 45 patentů.

Sedmá kapitola o reologických a elektrických vlastnostech čerstvé cementové pasty a vlastnostech betonových výrobků (pórovitosti, struktury pórů, specifickém povrchu, smíšování, tepelných a elektrických vlastnostech) připravil S. Mindess z Kanady za použití 76 literárních odkazů.

Osmou kapitolu o trvanlivosti betonových výrobků, malt a betonů zpracovali M. Regouard a J. Volant z Francie. Rozebírají v ní vlivy agresivních solí, zmrazení a rozmrzení, reakce mezi plnivem alkaliemi a zaobírají se též predpověď trvanlivosti. Odvolávají se na práce 168 autorů.

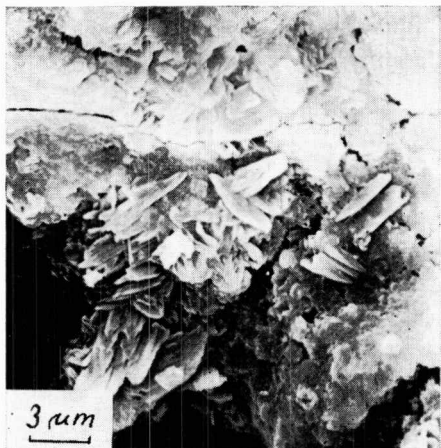
Devátou kapitolu o směsových portlandských cementech obsahujících křemičité úlety, popel, přirodní puclolány, struskou a jiné příměsy, modifikovaných portlandských cementů (téžnicích, bílých, barevných) a hlinitanovém cementu sestavil P. K. Mehta z USA za použití 65 literárních odkazů.

Desátá kapitola obsahuje přehled poznatků o sádrovcí, sádře a anhydritu. Zpracovali ji R. A. Kuntze a A. G. Thayer z Kanady na základě 88 literárních odkazů a 88 patentů.

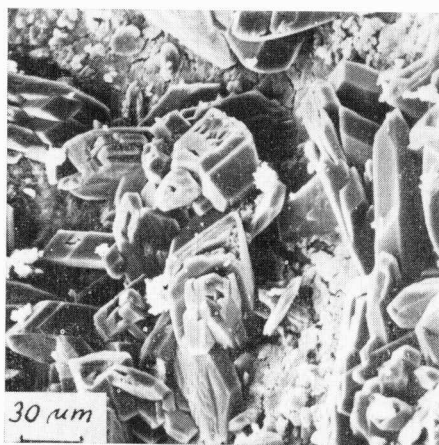
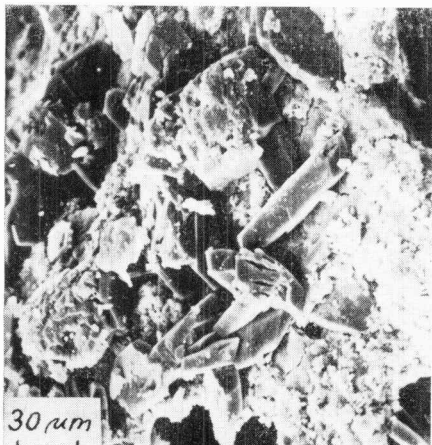


Obr. 3. Základní nekorodovaný vzorek pěnобetonu, REM.

Obr. 4. Mírně korodovaný vzorek pěnобetonu po 30 dnech působení prostředí s 20 %  $\text{SO}_2$  a relativní vlhkosti 75 %. REM.



Obr. 5. Korodovaný vzorek pěnобetonu po 60 dnech působení koncentrace 20 %  $\text{SO}_2$  a 75 % rel. vlhkosti; difraktograficky identifikován zejména hemihydrát siřičitanu vápenatého. REM.



Obr. 6. Krystaly sádrovce v korodovaném pěnобetonu, uloženého ve směsi plynů CO<sub>2</sub> a SO<sub>2</sub> (10 : 1) a relativní vlhkosti 95 % po 60 dnech působení. REM.

Obr. 7. Novotvary sulfatace — sádrovce — v pěnобetonu po 90 dnech koroze ve směsi CO<sub>2</sub> a SO<sub>2</sub> (10 : 1) při relativní vlhkosti prostředí 95 %. REM.